

Cicatrisation rapide ou tardive avec les stents actuels :

l'apport de l'imagerie dans l'analyse du mode d'action de la cicatrisation



Martine Gilard
CHRU Brest



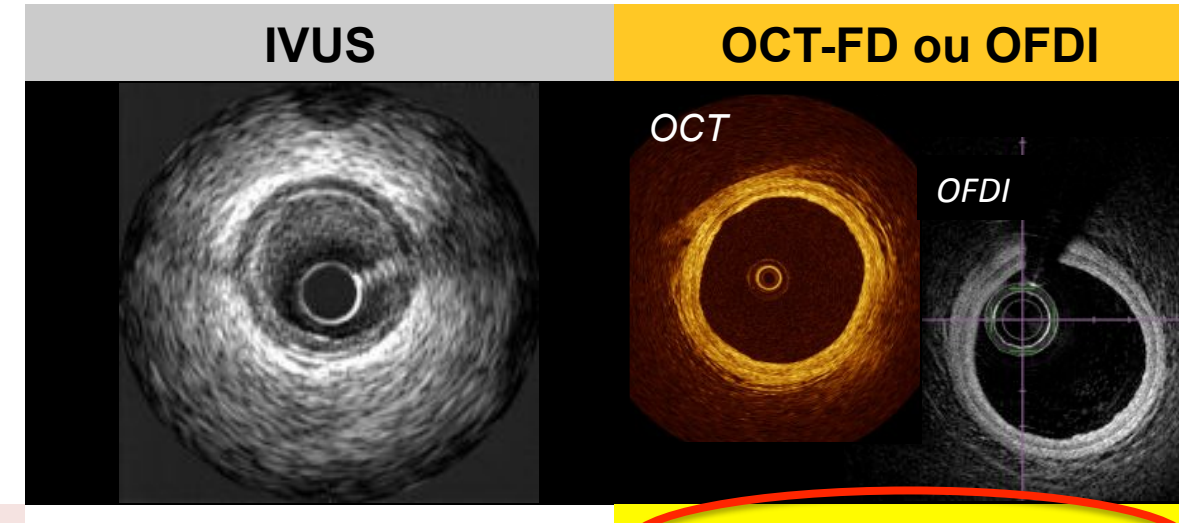
Quelle imagerie?

Il est indispensable d'utiliser une imagerie présentant une très bonne résolution spatiale

	OCT	IVUS	IRM	TDM	Angios	Coro
Résolution μm	5-15	80-120	300	400-750	< 200	100-200
Taille μm	140	700	-	-	800	-
Radiation	0	0	0	+	0	+



Quelle imagerie?



Résolution

Fréquence

Vitesse du pullback

Surface analysable

Pénétration

90-150 microns

30/s

1 mm/s

10-15 mm

4-8 mm

10-20 microns

100-150/s

5-40 mm/s

7 mm

1-1.5mm

Il faut éliminer le sang



Quelle imagerie?



Néo intima non detectée par IVUS Néo intima detectée by OCT

IVUS ne détecte une prolifération intra stent que lorsqu'elle atteint 14,8% de la surface

Kwon SW et al. *Am Heart J* 2011;161: 367-372

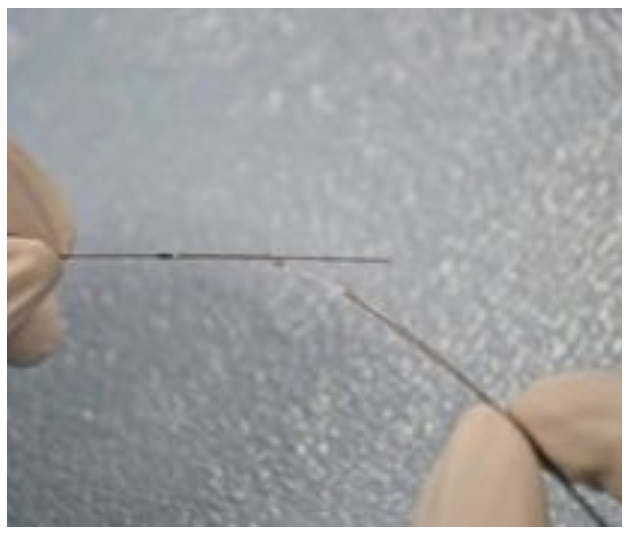


OCT ou OFDI

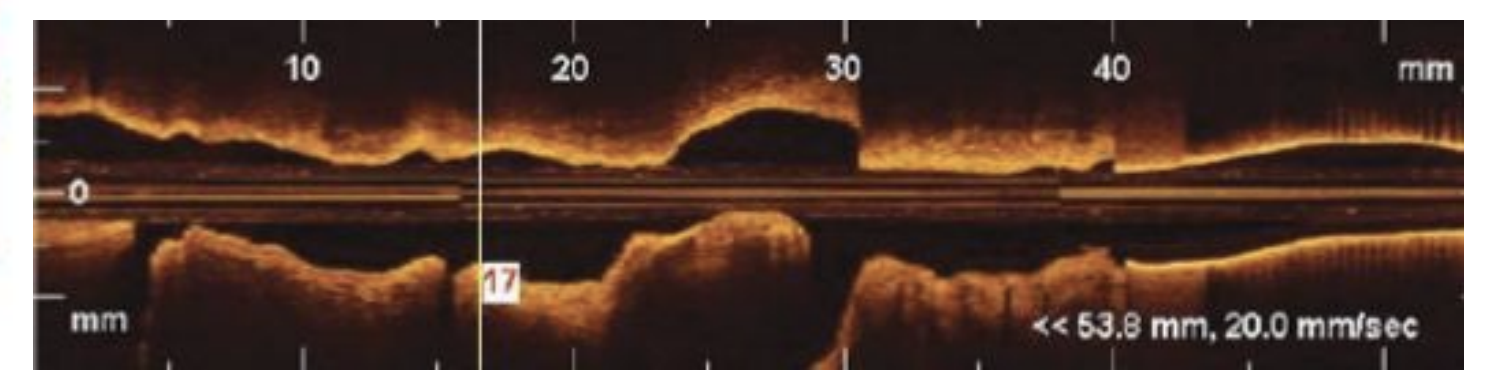


FD-OCT: Frequency Domain OCT

Catheter monorail
Pas de ballon d'occlusion
Pullback : 20 to 40 mm/s



15 cc de contraste en 4 s: 4 à 6 cm d'artère analysée





DES de première génération diminue la resténose et TVR. Un problème nouveau: la thrombose tardive

La première génération de polymer peut être responsable de cette thrombose tardive, conséquence d'une cicatrisation tardive et d'une réaction d'hypersensibilité



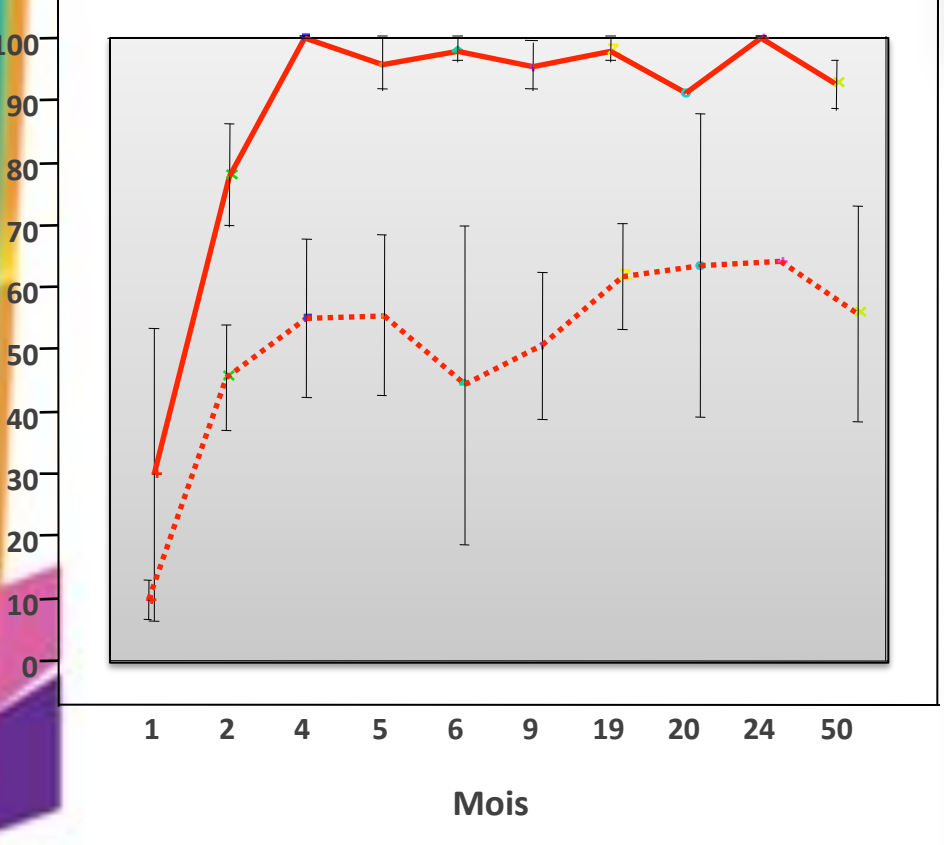
Retard de cicatrisation DES

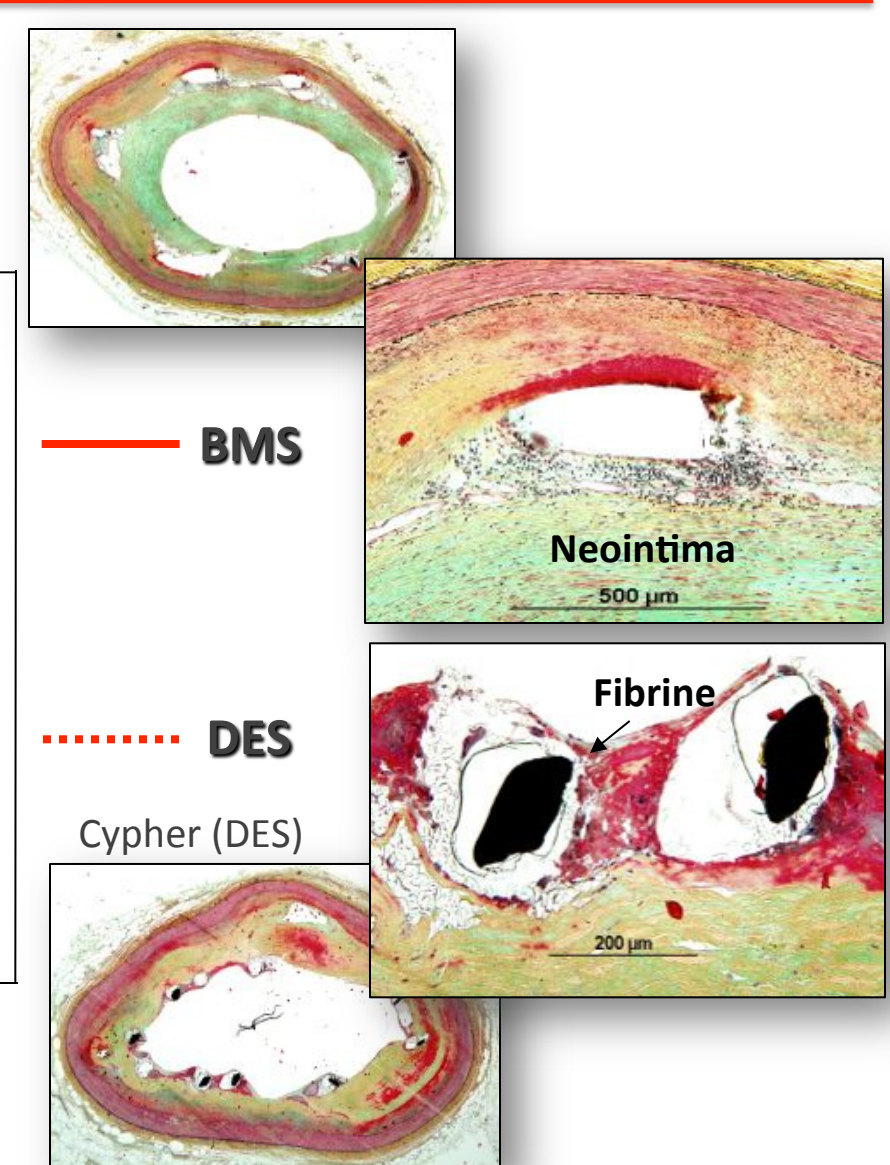
100

90-

10

Mean % Endothelialization

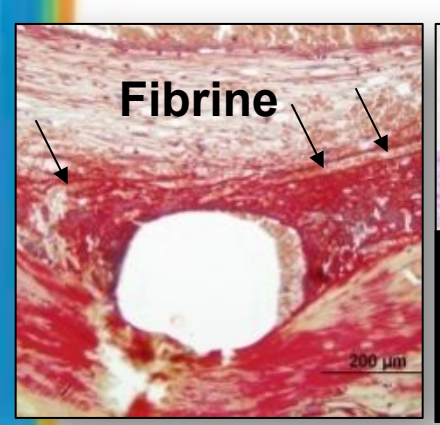


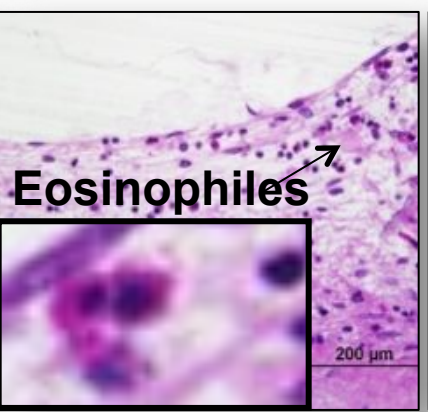


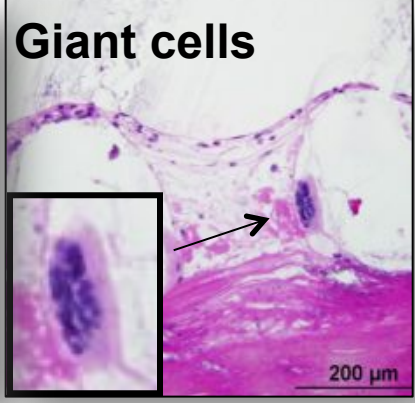
Joner M et al. J Am Coll Cardiol. 2006;48:193-202.

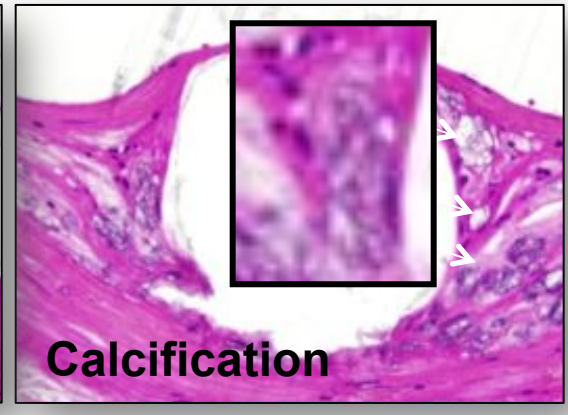


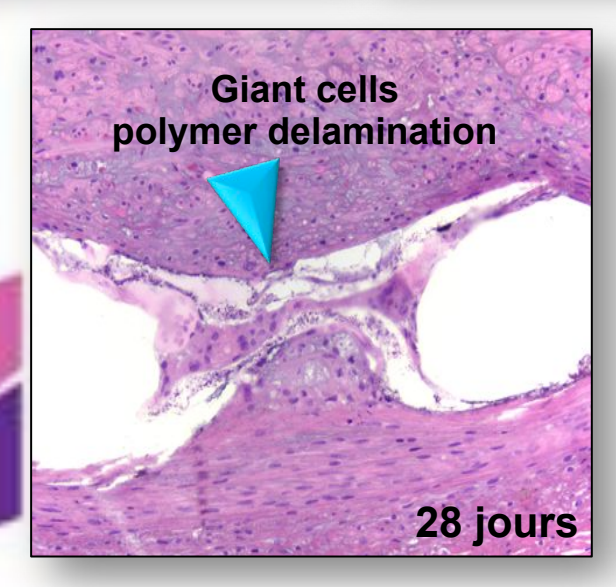
Polymer durable est associé avec l'inflammation

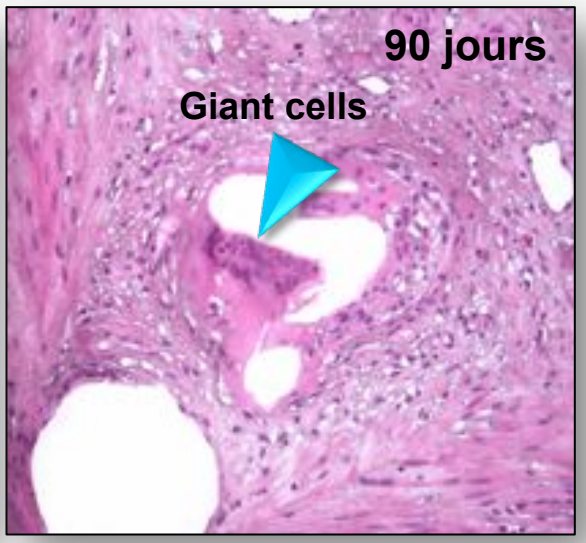


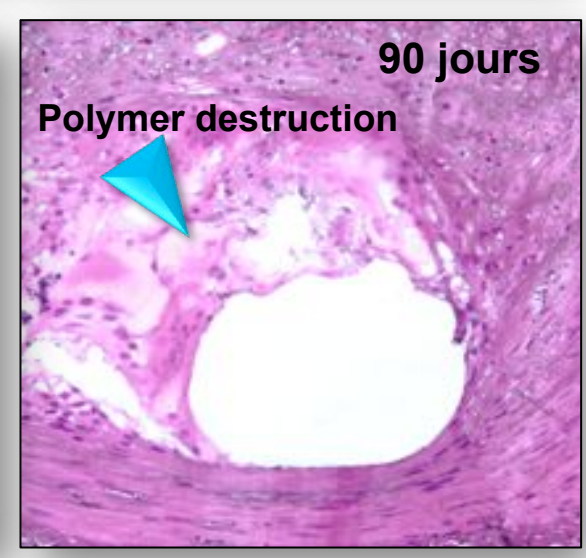














Pour améliorer la sécurité des DES, seconde et troisième génération de DES ont été développé avec des polymères durable plus compatibles et /ou des polymères biodégradables

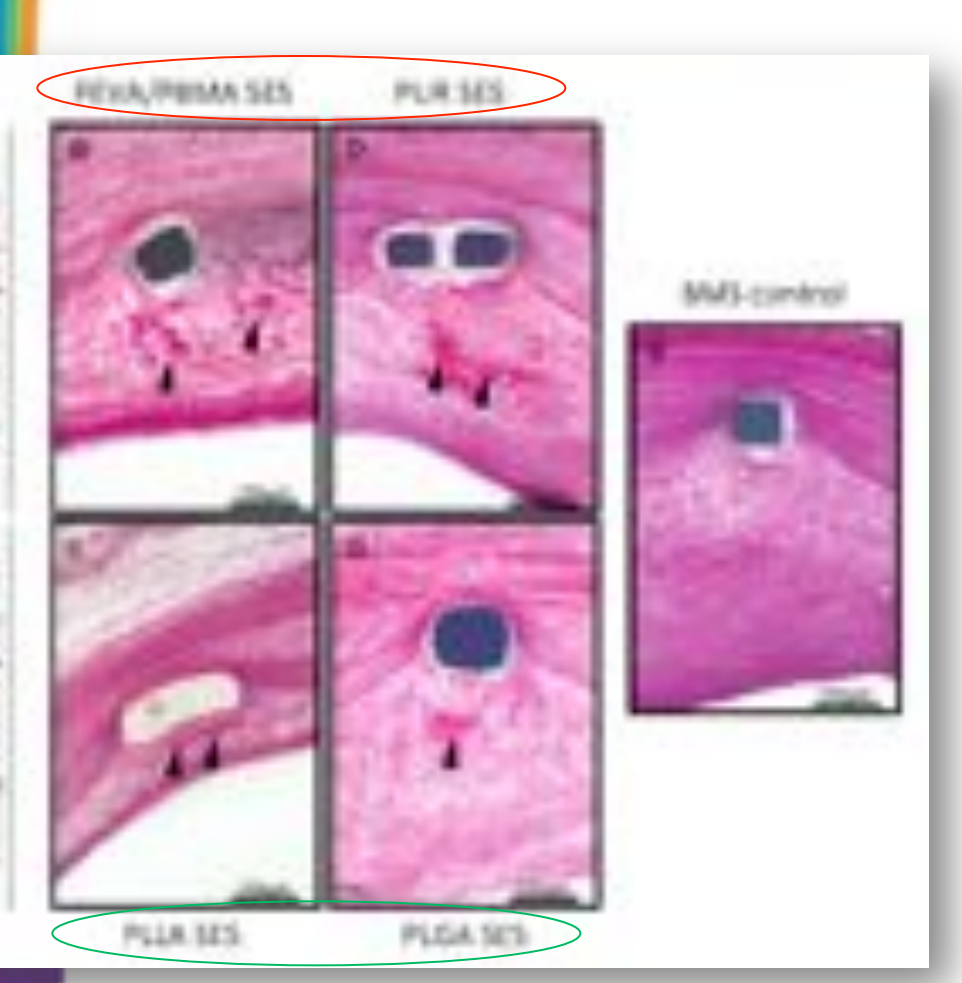
Les DES avec des Polymères biodégradables ont montré une sécurité et une efficacité constituant une alternative aux DES avec un polymère durable (nombreuses études randomisées).

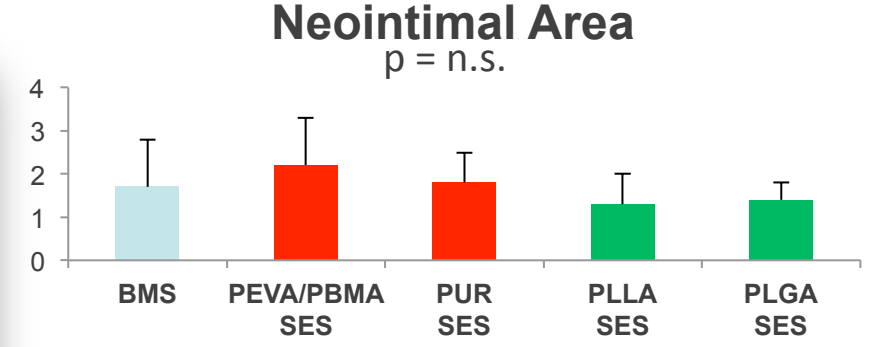
Mehilli J, Eur Heart J 2008;29:1975–1982. Byrne RA, Lancet 2008;372:1163–1173. Chevalier B. Circ Cardiovasc Interv 2009;2:188–195.

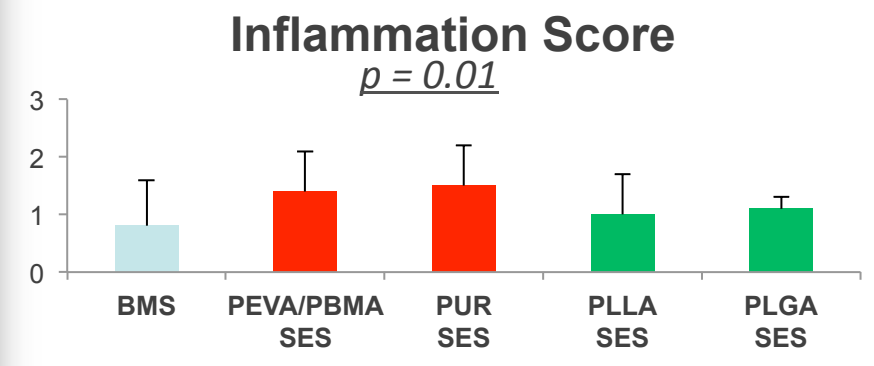
APPAC

Comparaison Histologique:

BMS vs. Durable vs. Biodegradable polymer-coated DES







Fibrine Score

oppara T, Thromb Haemost. 2012;107:1161-71

poly(n-butyl methacrylate) (PBMA)/ poly(ethylene vinyl acetate) (PEVA), polyureťhane BI (PUR), poly (L-lactide) (PLLA), poly(lactide-co-glyco- lide) (PLGA)

BMS

PEVA/PBMA SES PUR SES PLLA SES

PLGA SES



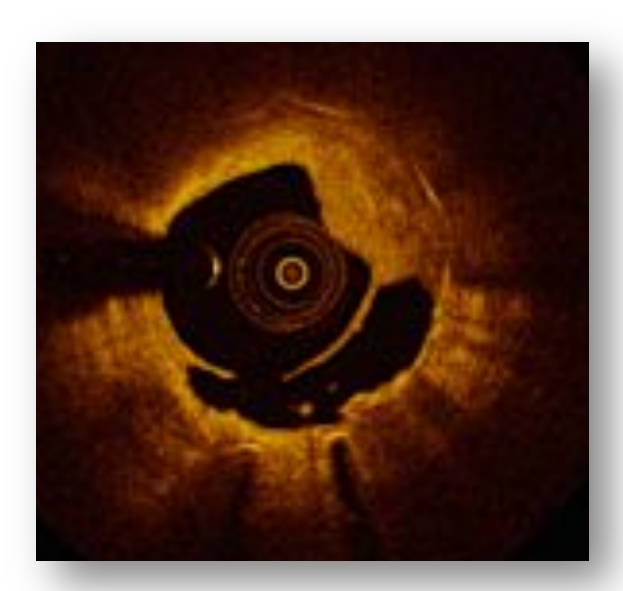


Le potentiel de l'OCT dans le stenting

Implantation du stent (mal apposition)
Hyperplasie néo-intimale
Recouvrement des struts



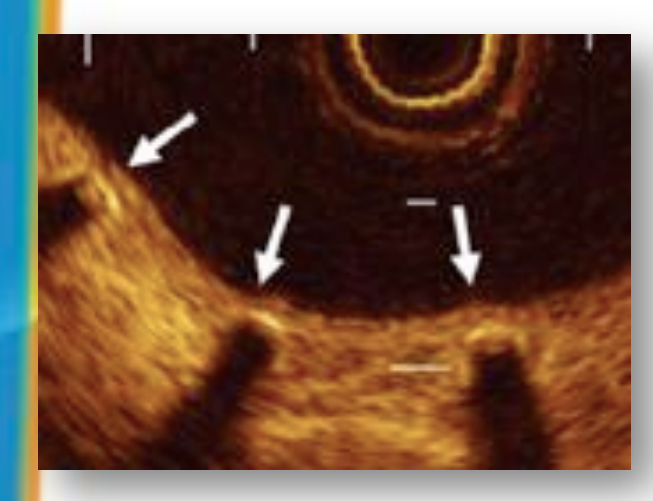
Hyperplasie néo-intimale



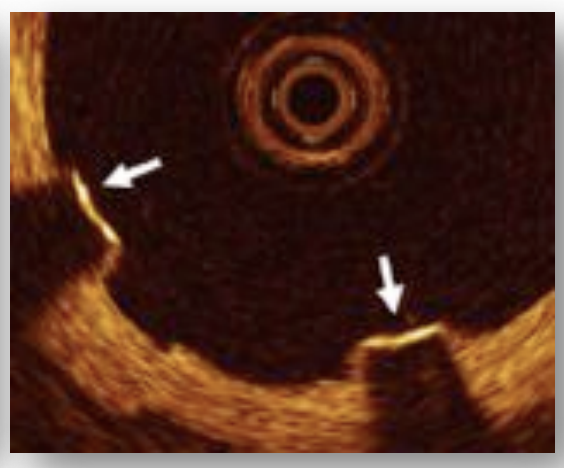
Rupture neo intimale



Le potentiel de l'OCT dans le stenting



Well-apposed Apparent neointimal coverage without neointimal coverage



Well-apposed

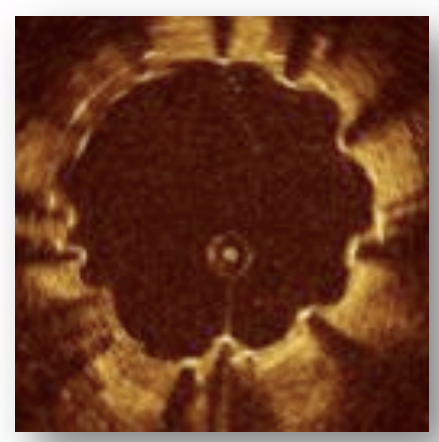


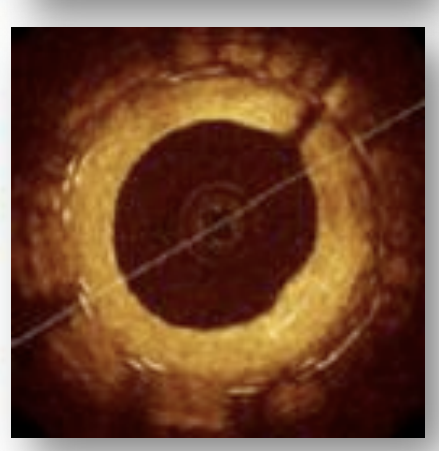
Malapposed Inner surface-vessel wall $> 150 \mu m$

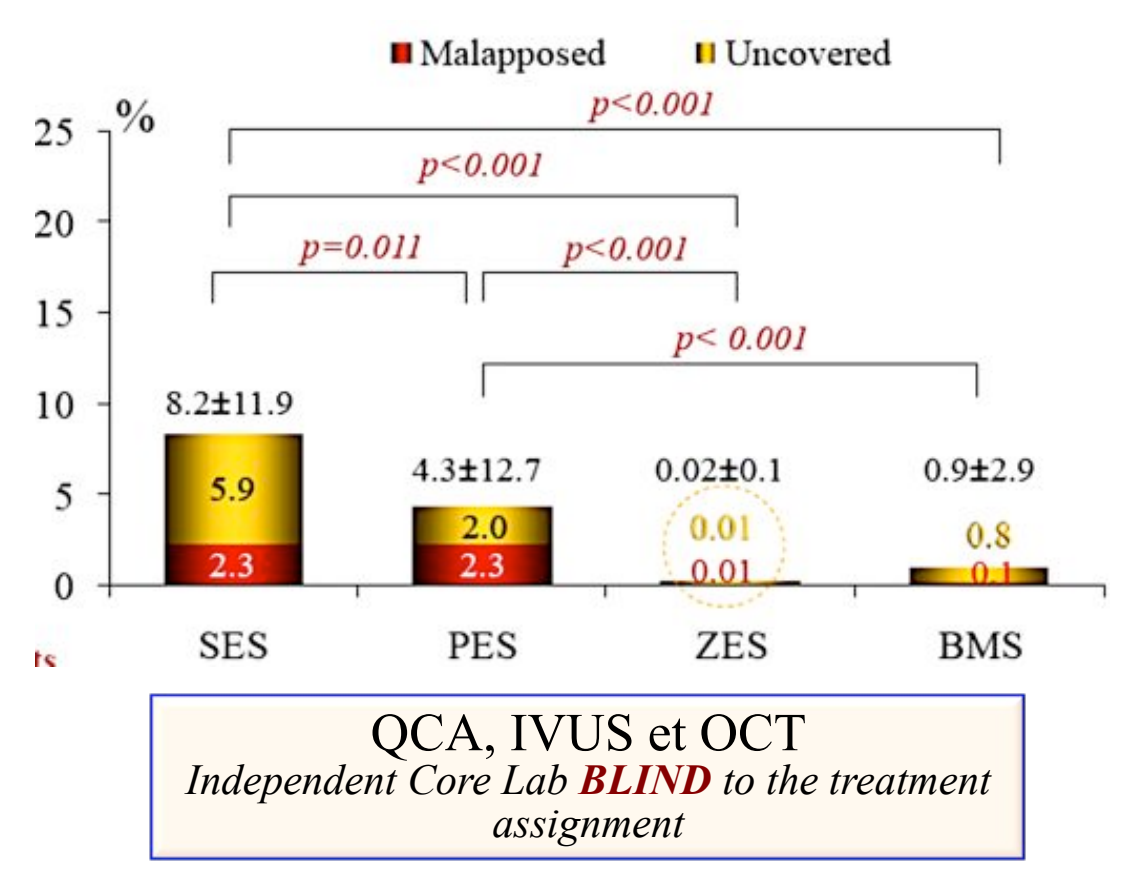


ODESSA: OCT 6 mois

Etude prospective, randomisée, longue lésion (>20 mm) SES, PES, ZES and BMS





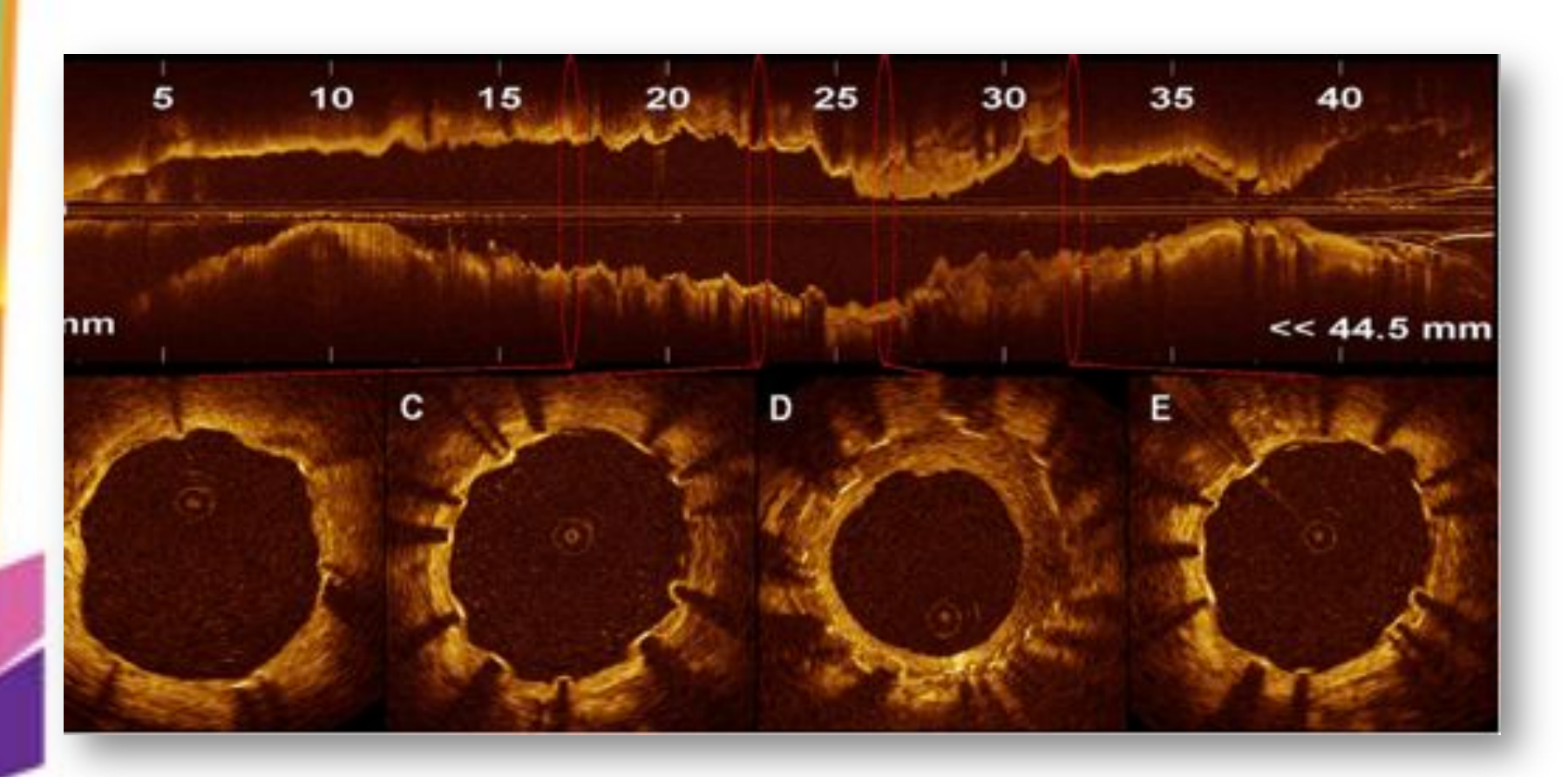


Guagliumi G et al J Am Coll Cardiol Intv 2010;3:531-9



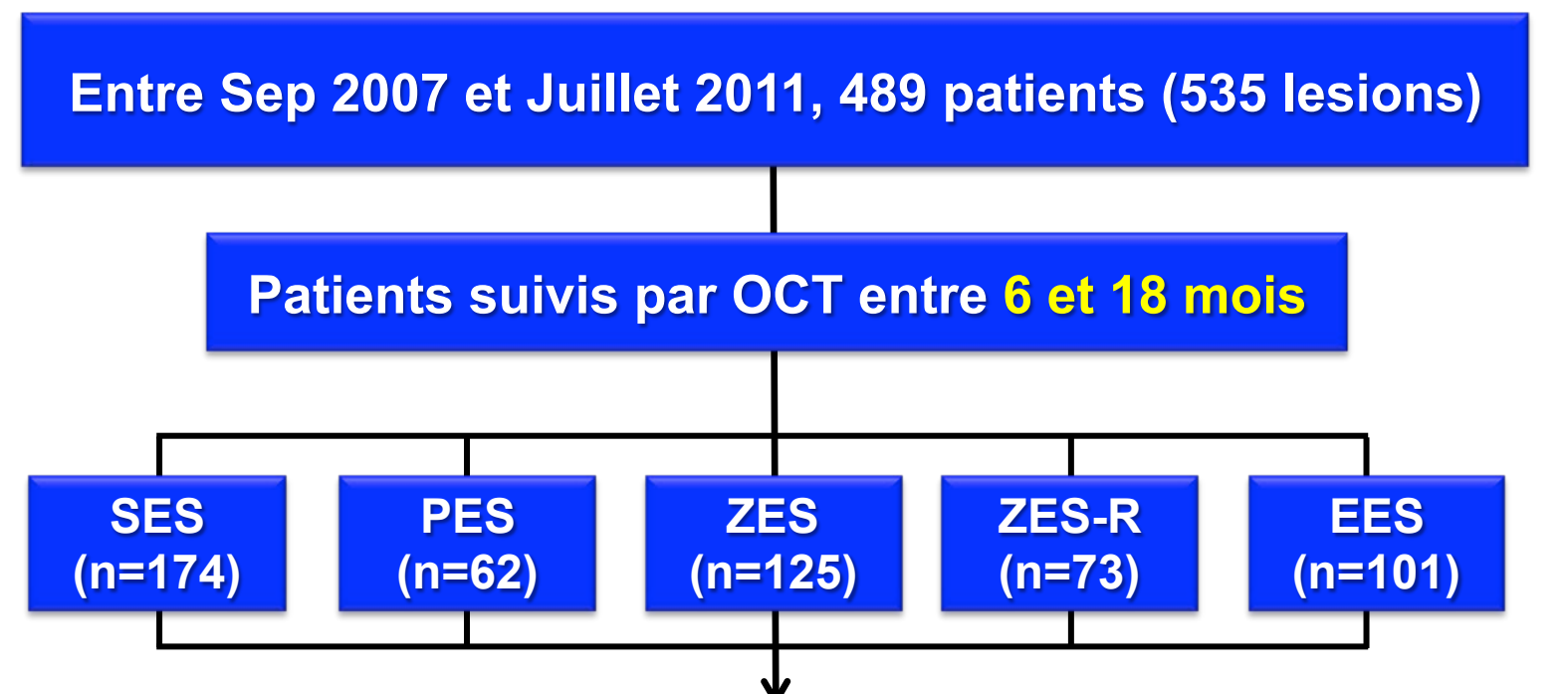
ODESSA: OCT 6 mois

Aspect inhomogène de la couverture d'un DES





Registre Yonsei OCT



Suivi clinique après le suivi OCT

MACE: Composite DC CV, IDM ou thrombose de stent



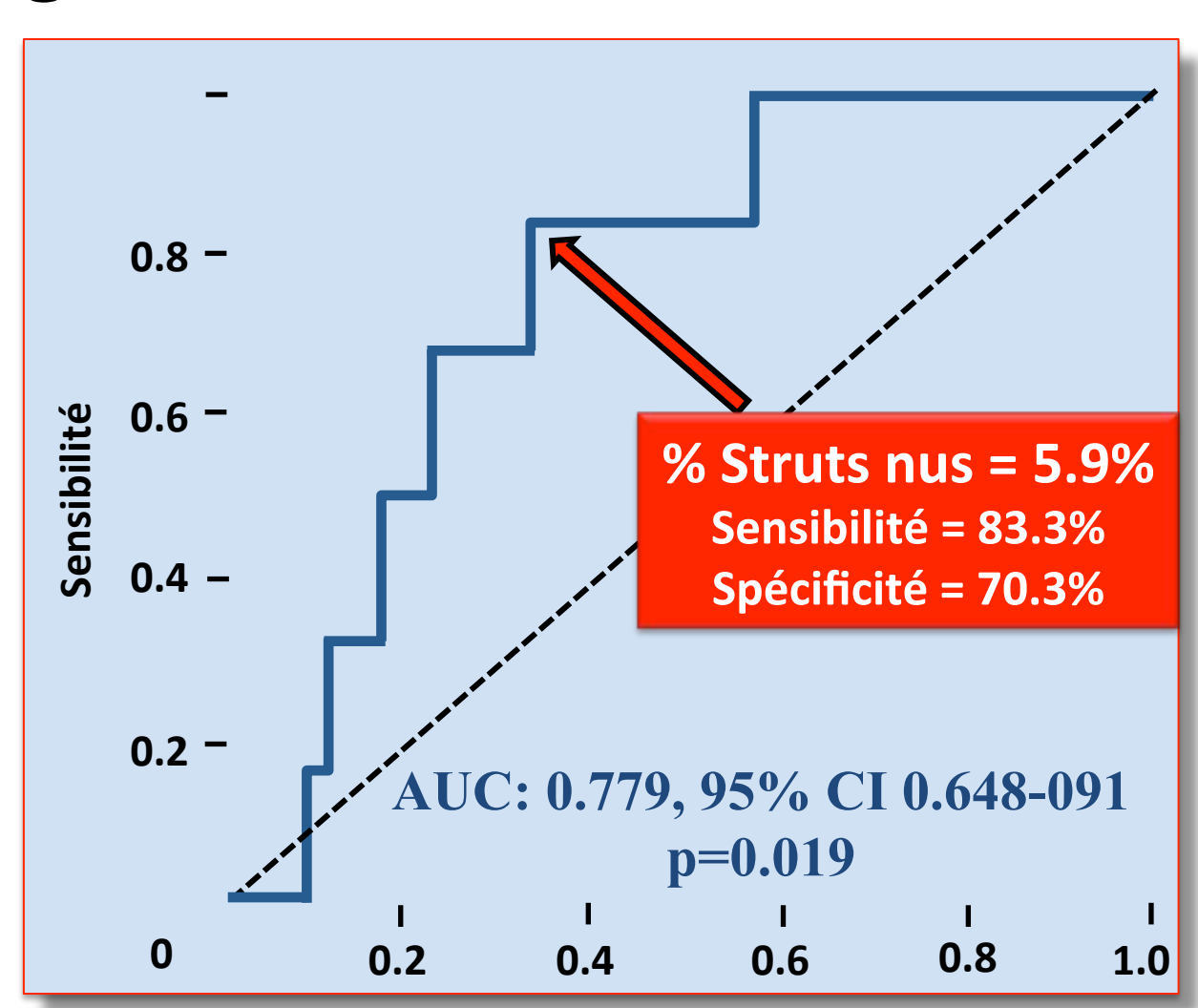
Registre Yonsei OCT

Suivi total:

1050 ± 493 jours

Suivi aprés l'OCT:

778 ± 477 jours

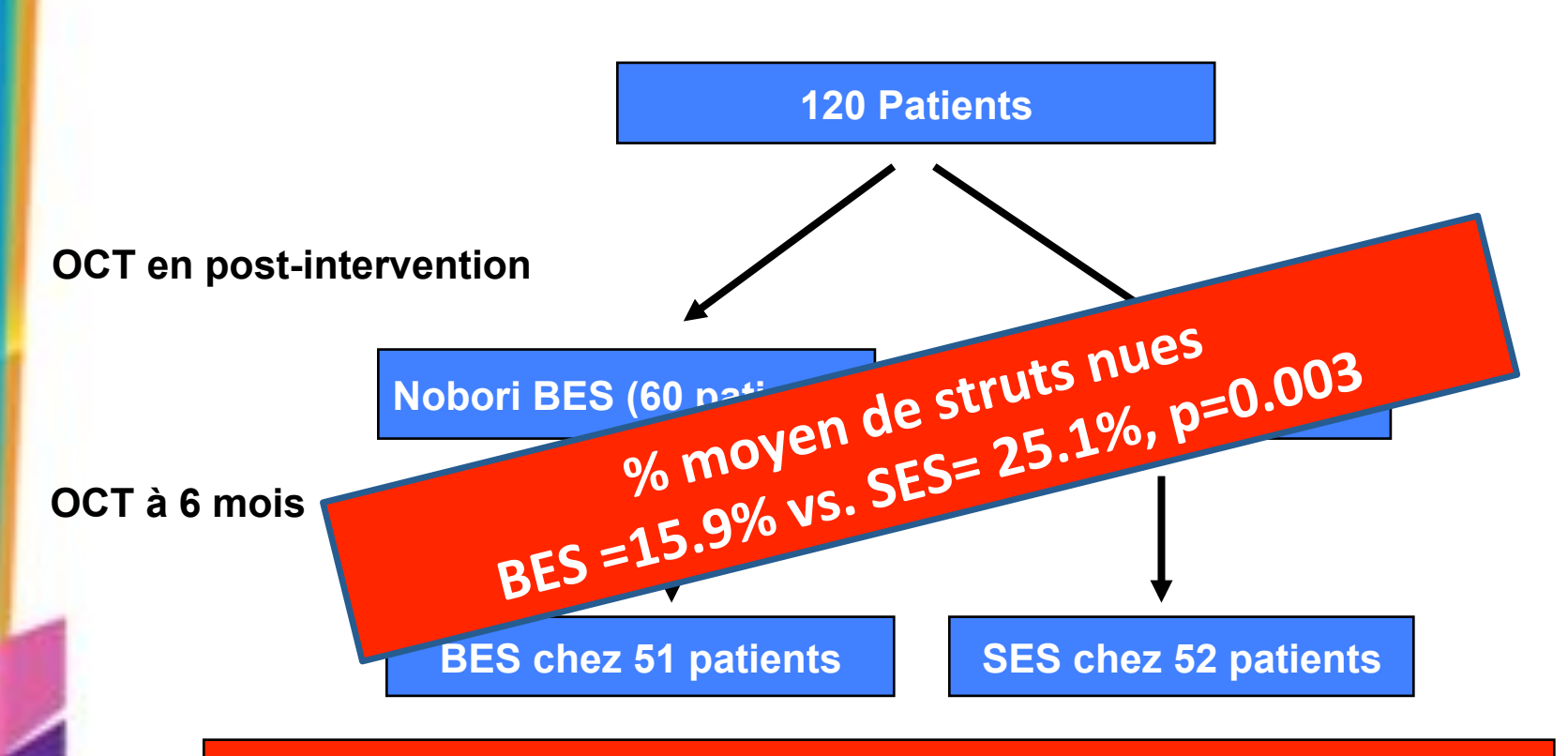






Etude randomisée OCT

Stents Biolimus Nobori vs sirolimus

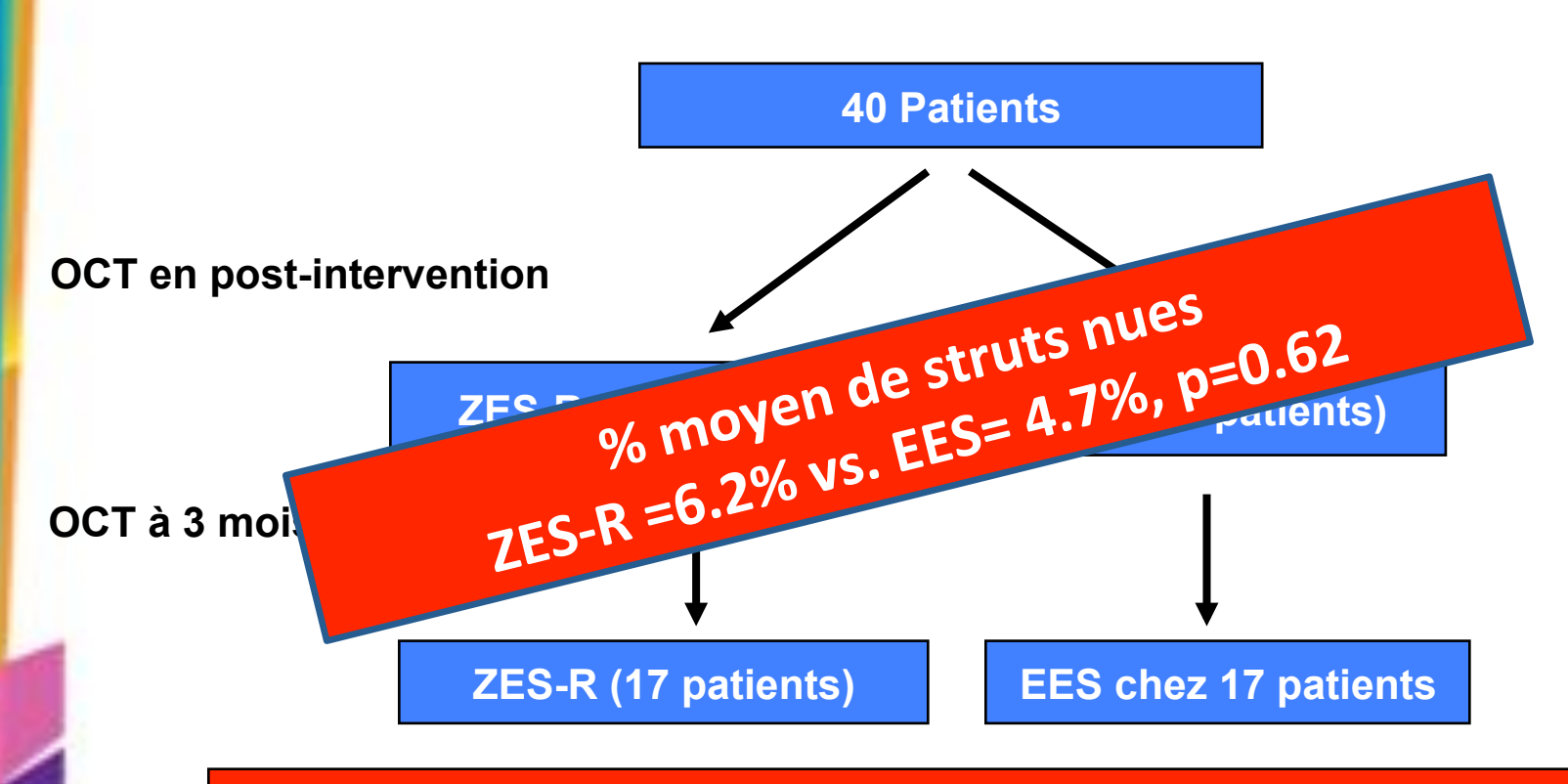


Critère primaire: Struts couvertes à 6 mois



Etude randomisée OCT

Stents Zotarolimus vs everolimus



Critère primaire: Struts couvertes à 3 mois





Visualisation des cellules > résolution spatiale

Nature de l'hyperplasie néo intimale



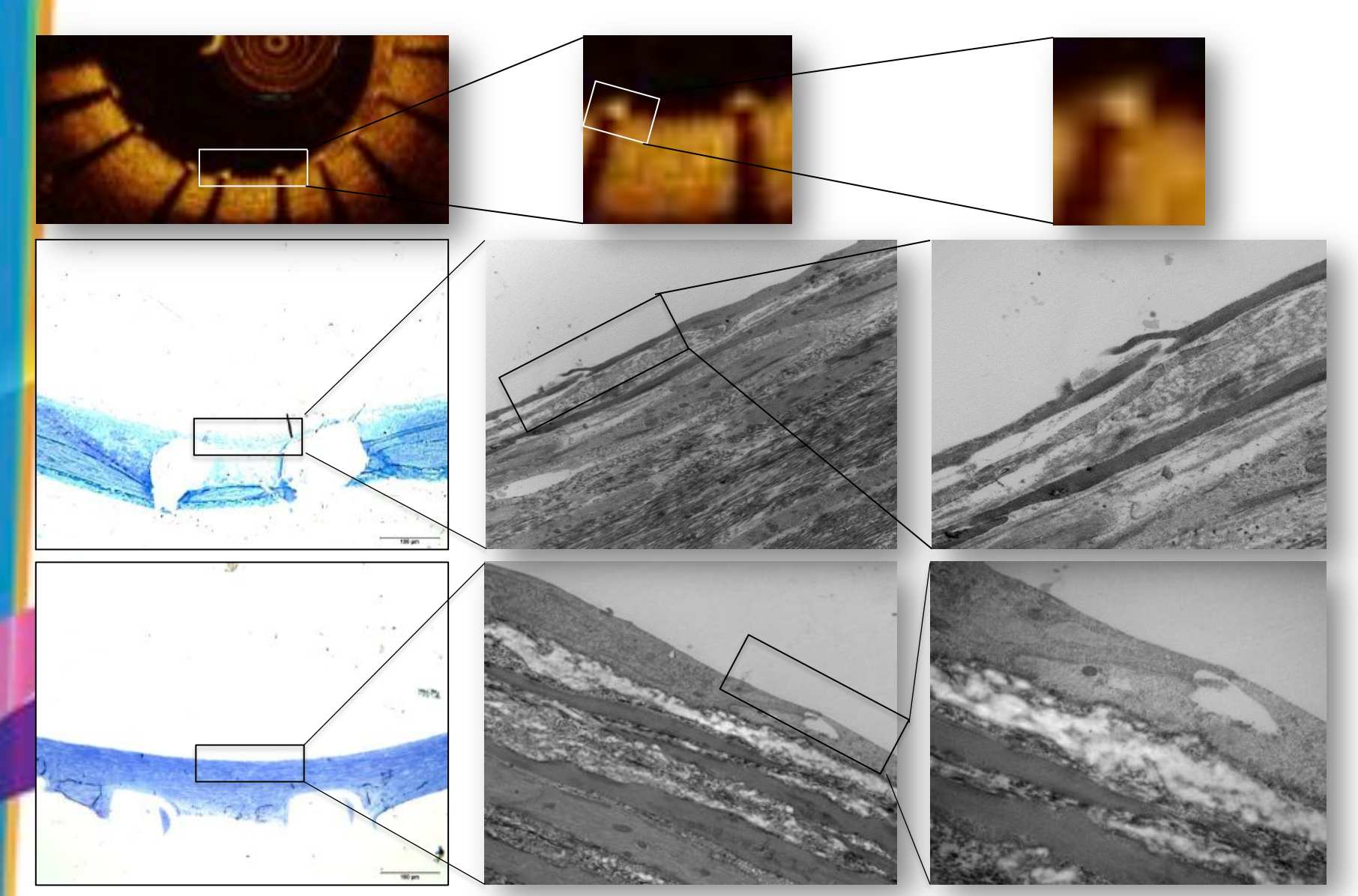


Visualisation des cellules > résolution spatiale

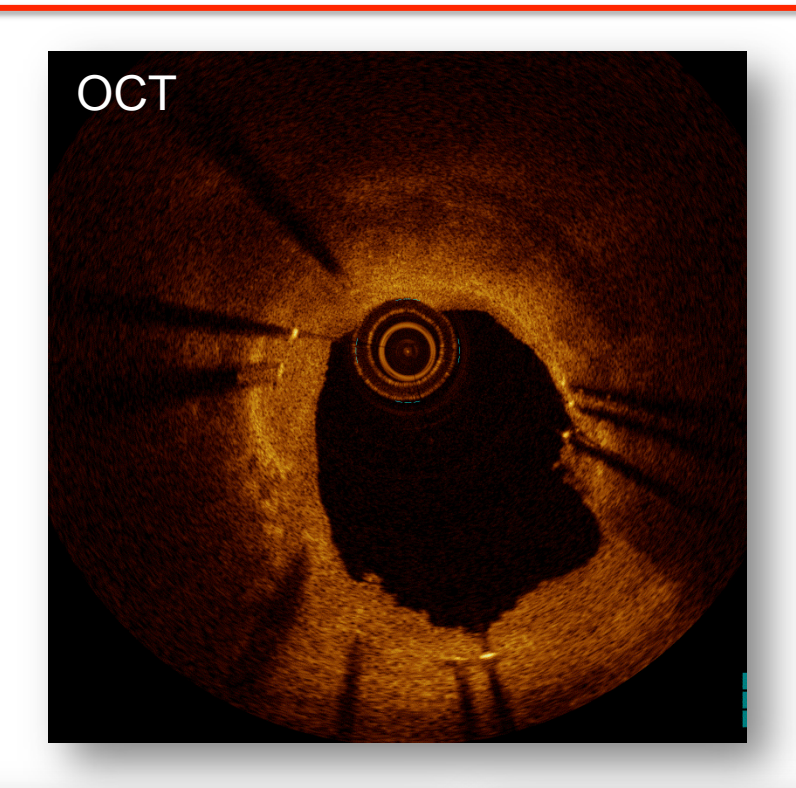
Nature de l'hyperplasie néo intimale

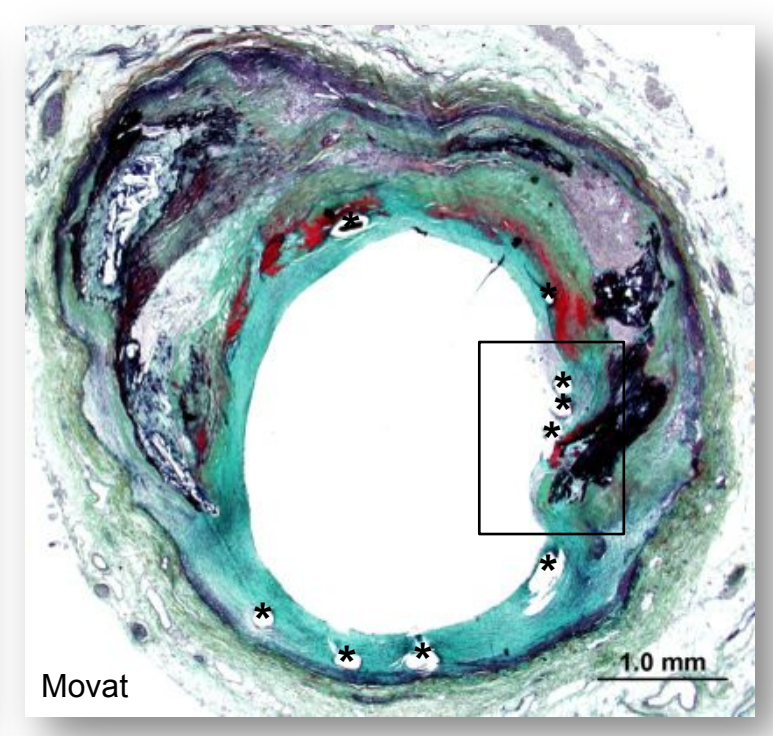


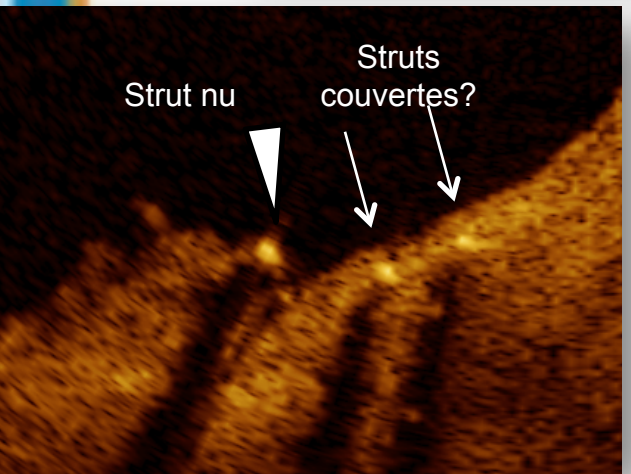
Détermination de la couverture des struts

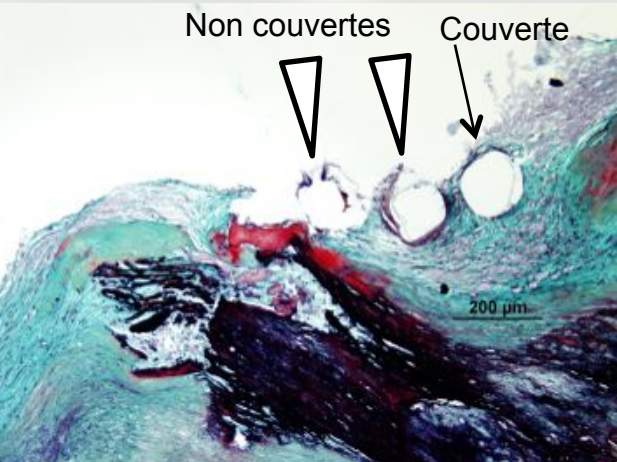


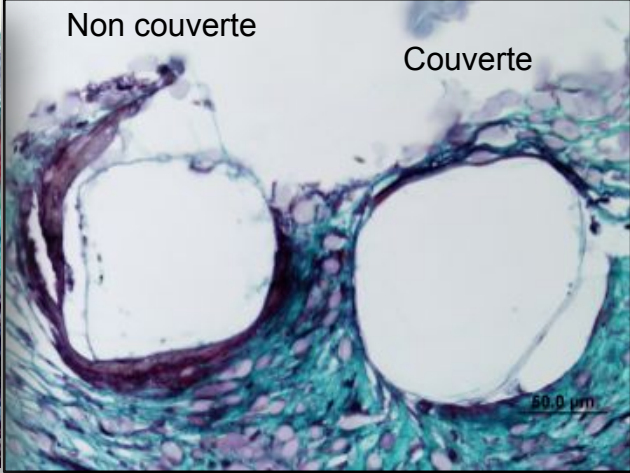














OCT sans seuil pour analyser la couverture des struts

	Nu en histologie	Couvertes en histologie	Total
Nu en OCT	13	0	13
Couverte en OCT	9	435	444
Total	22	435	457

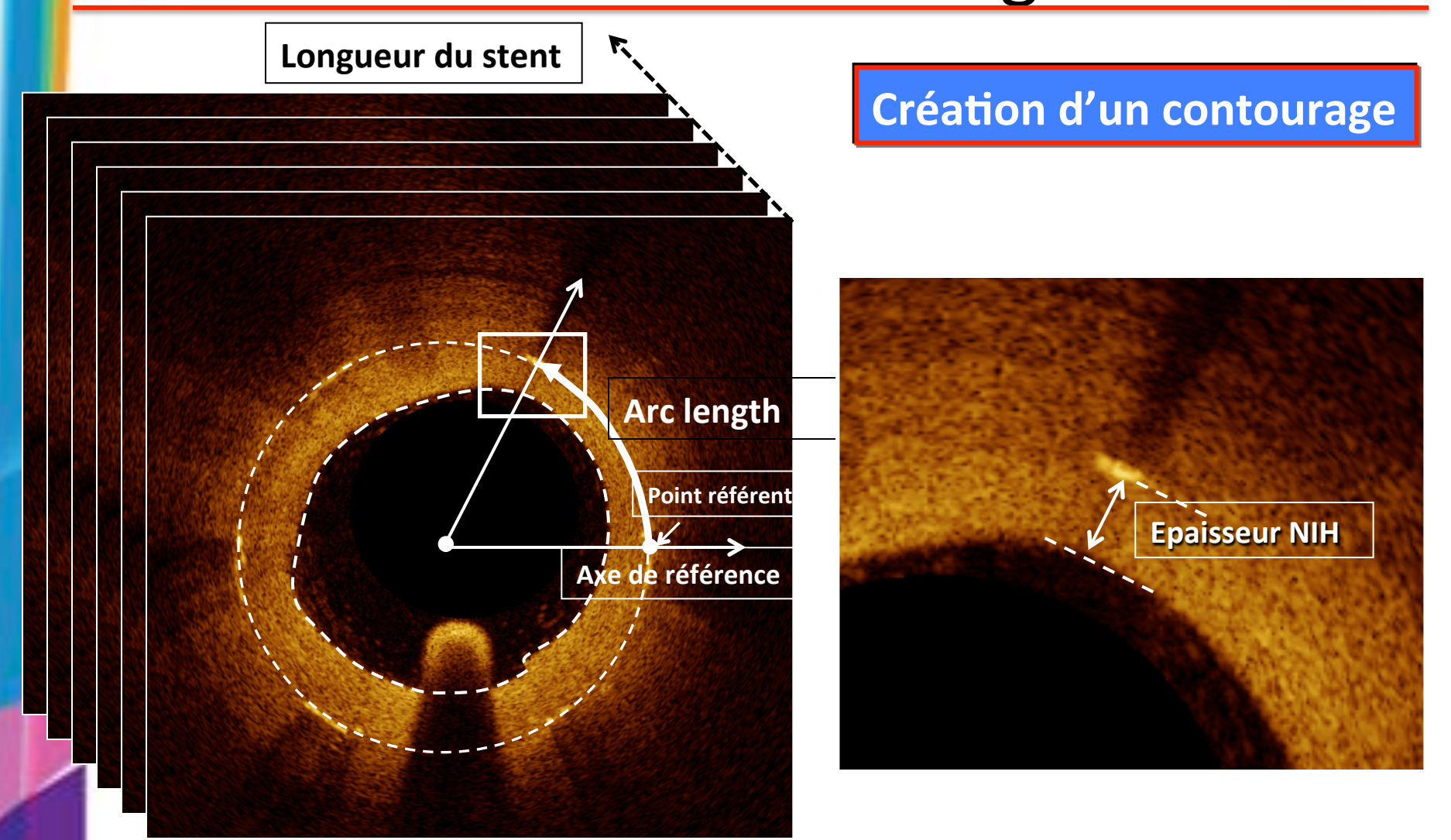
Sensitivity = 40.9%, Specificity = 100%

OCT avec un cut-off ≥40 µm de couverture des struts

	Nu en histologie	Couvertes en histologie	Total
Nu en OCT	20	6	26
Couvertes en OCT	2	429	431
Total	22	435	457

Sensitivity = 90.9%, Specificity = 98.6%



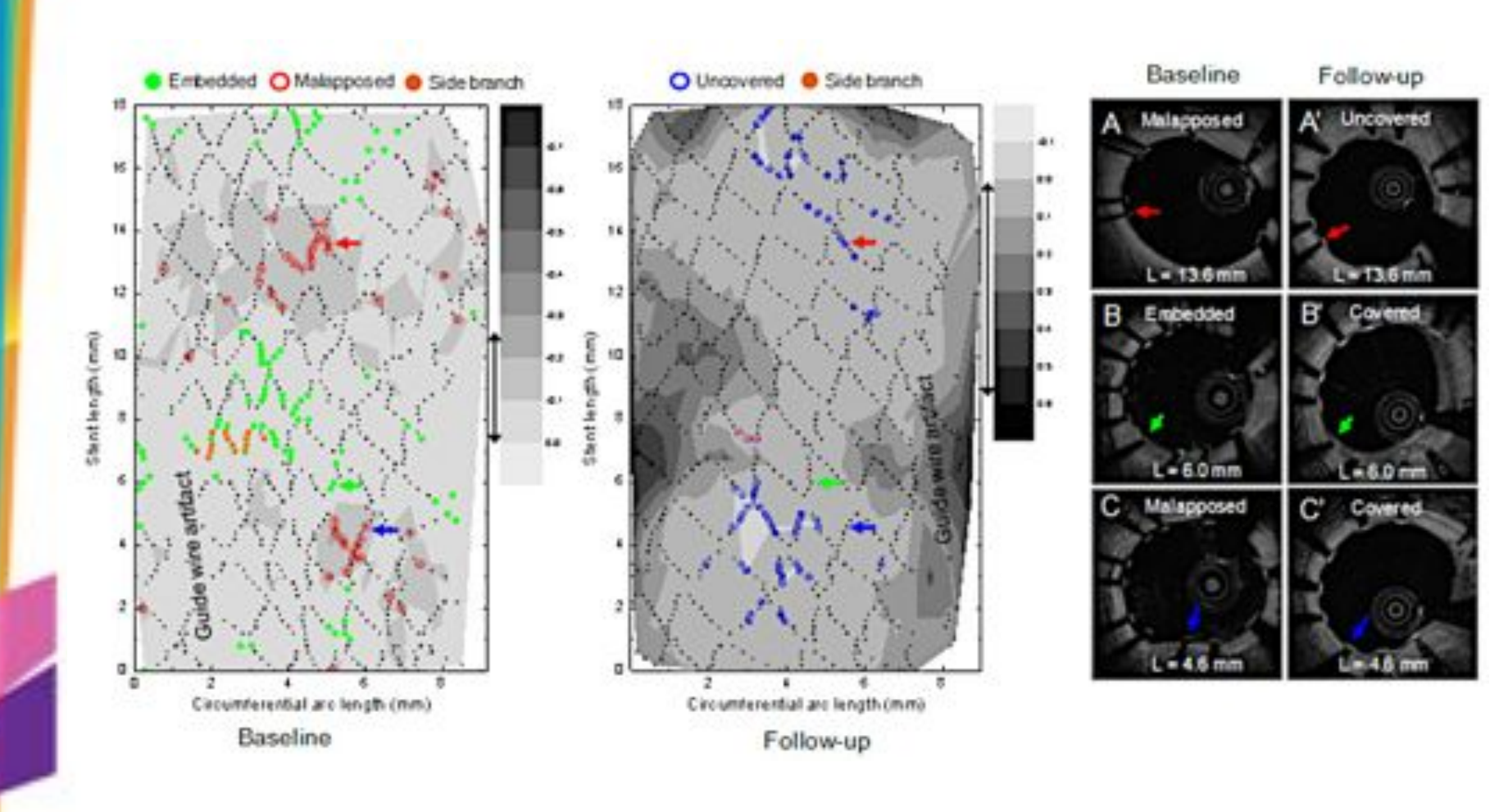


Data (x, y, z) = Data (Longueur ARC, longueur stent, épaisseur NIH)

Mesure de l'hyperplasie: pour mesurer de la longueur de l'ARC entre chaque strut: L'axe de référence est le centre de chaque strut, avec un contourage hyperplasie pour chaque section



Evaluation des stents après l'implantation et à distance



Kim JS, Ha J, Hong MK, et al, JACC Intv (in press)

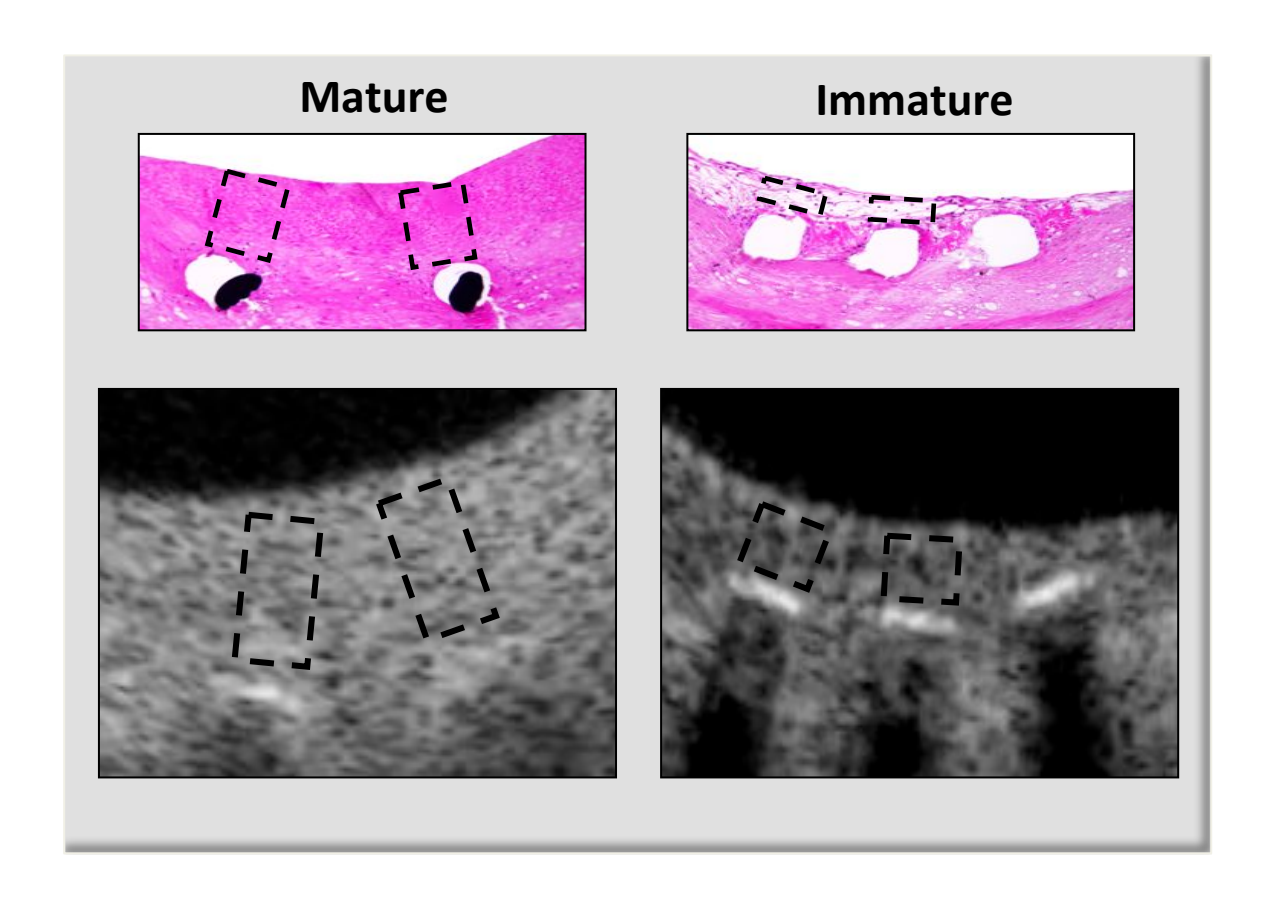


Visualisation des cellules > résolution spatiale

Nature de l'hyperplasie néo intimale



Neo intima mature ou immature

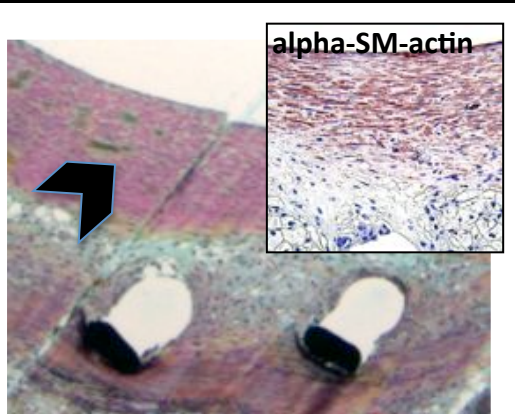


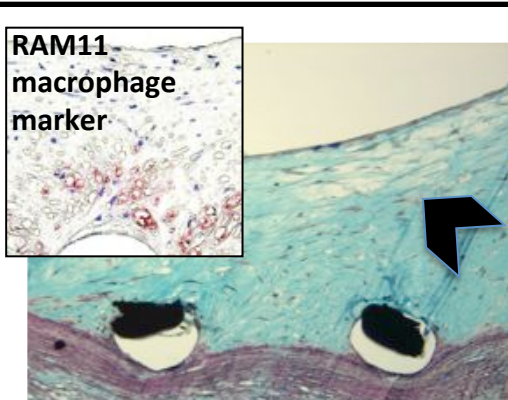


Neo intima mature ou immature

Composition des tissus	Mature	Immature
Cellules musculaires lisses	Beaucoup	peu
Matrice extra cellulaire	peu	high
Cellules inflammatoires	Très peu	peu
Fibrine	absente	présente

Tissu néointimal mature





Tissu néointimal immature

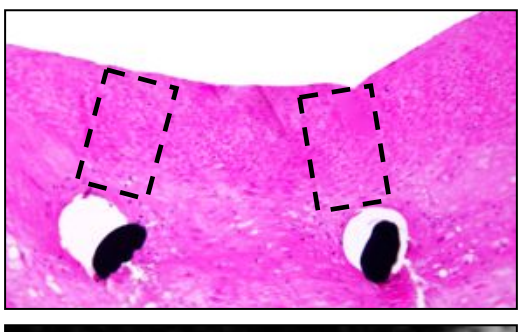


Grey-scale Signal Intensity (GSI)

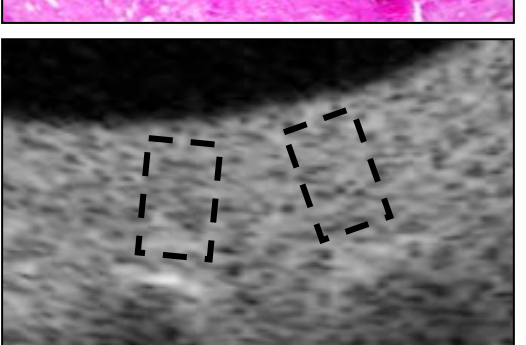
320 surfaces de struts provenant de 52 OCT frames sont analysées en utilisant le GSI score

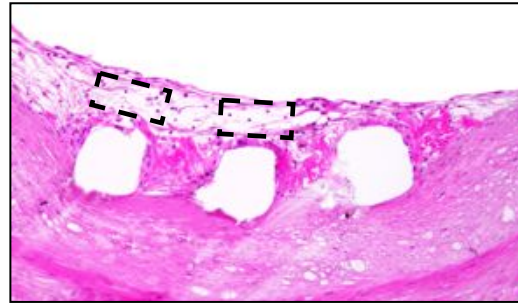
136 surfaces sont définies comme matures et 184 immatures

Une valeur moyenne de GSI est calculée pour chaque surface



mature







immature

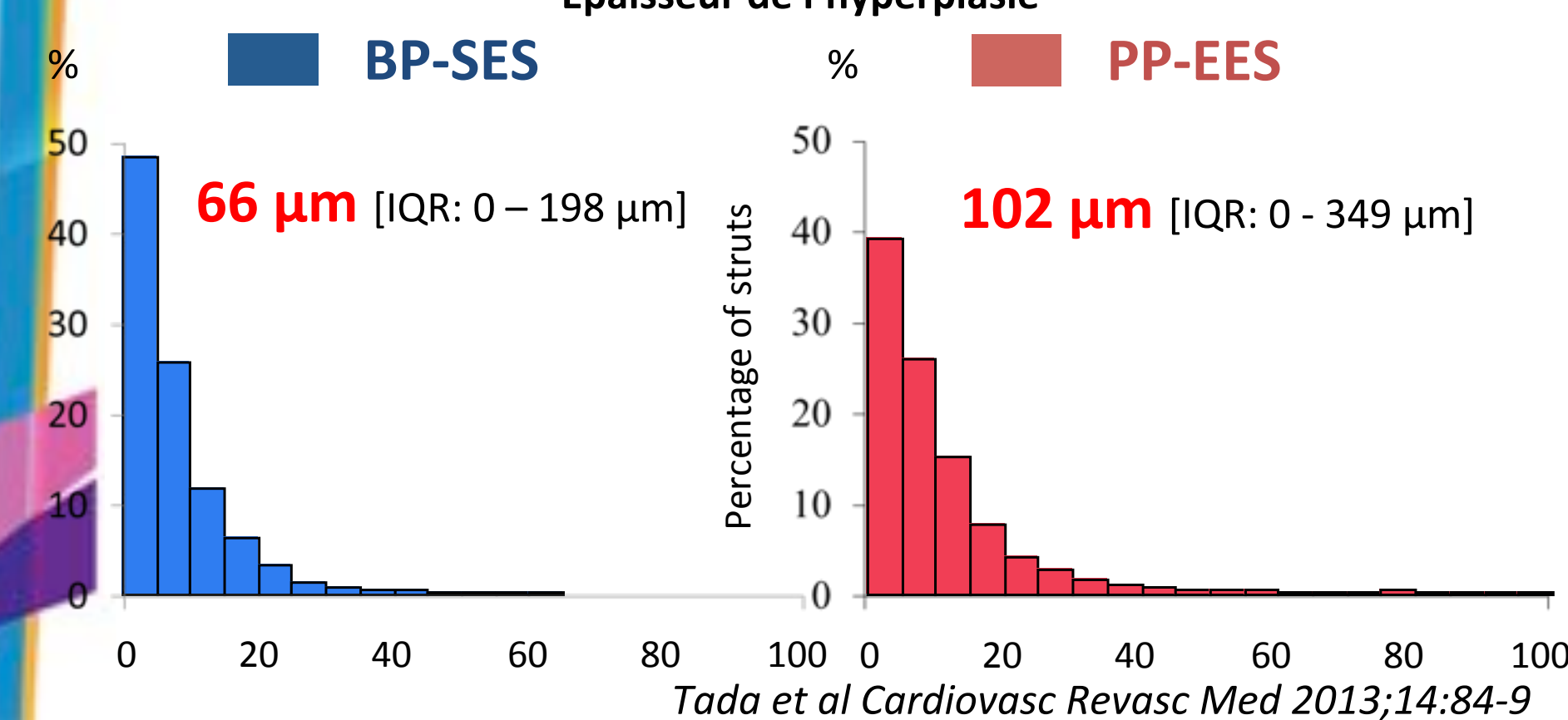


Grey-scale Signal Intensity (GSI)

Etude randomisée ISAR-ORSIRO-OCT

54 patients (59 lesions) 32 BP-SES et 27 PP-EES Suivi: 6-8 mois

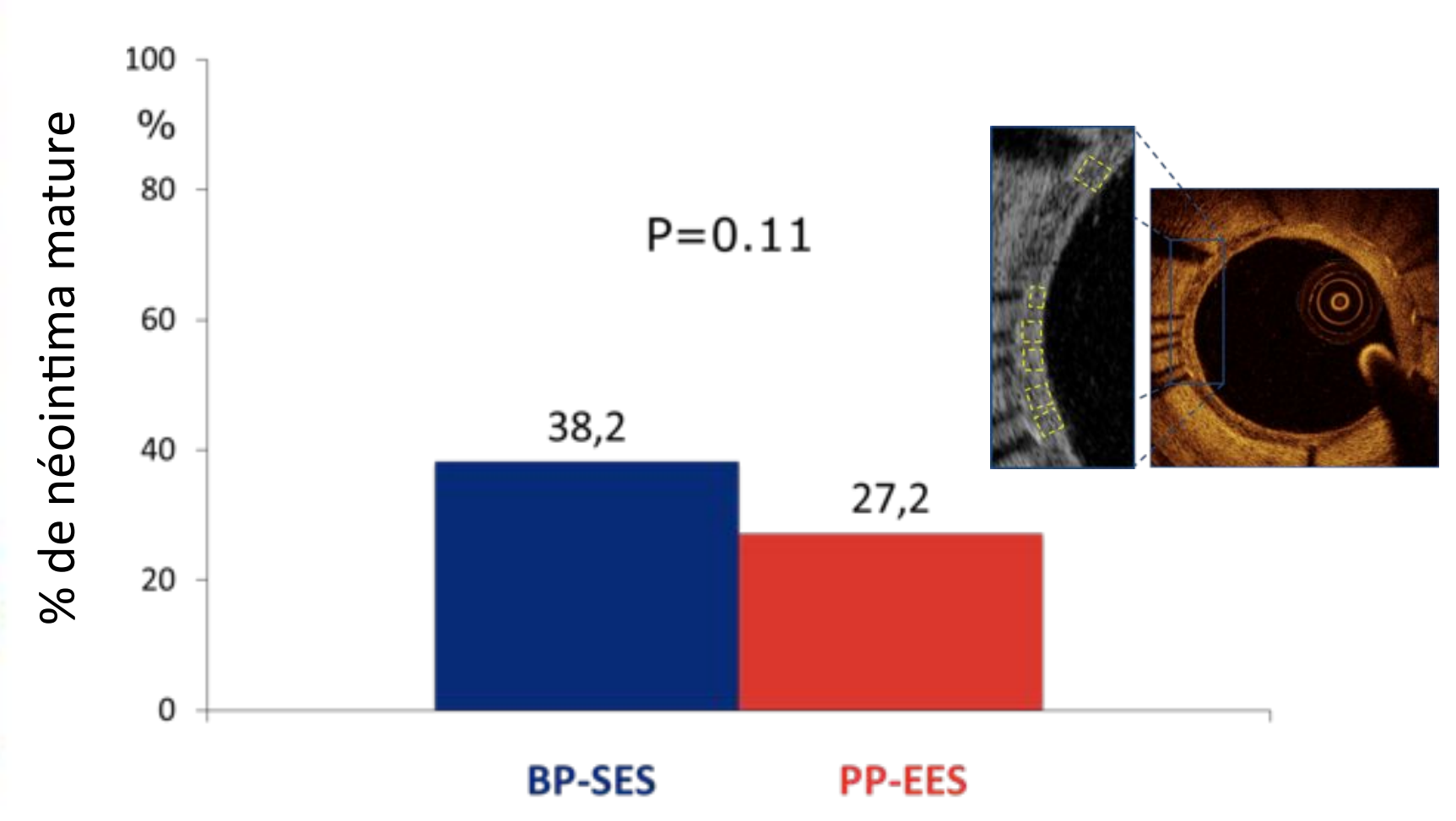
Epaisseur de l'hyperplasie





Grey-scale Signal Intensity (GSI)

Etude randomisée ISAR-ORSIRO-OCT



Tada et al Cardiovasc Revasc Med 2013;14:84-9

Conclusion



L'OCT est l'imagerie permettant de comparer et de suivre la cicatrisation des DES

Elle présente cependant quelques limitations: résolution spatiale et cellules endothéliales nature de l'hyperplasie: mature ou immature

De nouveaux logiciels peuvent être utiles dans une meilleure compréhension de la cicatrisation des nouveaux DES